

Tema#4:Electrostática¹

Bartolomeu Joaquim Ubisse

Universidade Eduardo Mondlane
Faculdade de Ciências - Departamento de Física

(Aulas preparadas para estudantes da Engenharia Informática- UEM)

18/04/2022

¹Alguns exemplos usados neste material foram usados pelo Prof. Luis Chea nas aulas leccionadas na FENG-UEM no período de 2019 a 2021.

1 Carga e Força eléctrica

- Lei de Coulomb

2 Campo eléctrico

- Princípio de superposição
- Dipolo eléctrico
- Movimento de partículas carregadas no seio de \vec{E} uniforme
- Lei de Gauss

Carga e Força eléctrica

Fenómenos de electricidade e magnetismo são conhecidos desde a antiguidade.

600 AC	Thales de Mileto descobre que quando o âmbar é atritado com seda atrai pequenos pedaços. Descobre-se a carga estática.
1733	Descobre a existência de dois tipos de interações eléctricas (atractiva e repulsiva) Observou a diferença entre condutores e isoladores quanto à electrização.
1750	Benjamin Franklin convencionou sinais de cargas eléctricas (positiva e negativa)
1736 – 1806	Charles Augustin de Coulomb descreveu a interação electrostática entre dois corpos carregados; Inventou a balança de torção.
1800	Alessandro Volta inventa a pilha voltaica

Carga e Força eléctrica

A carga eléctrica é uma propriedade fundamental associada às partículas que constituem a matéria. Ela é uma medida quantitativa da interação electromagnética.

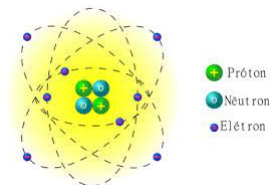


Figura 1:

- protão ($+e$)
- electrão ($-e$)
 $e = 1.6 \times 10^{-19}C$ (e - carga elementar)
- A unidade de carga eléctrica é Coulomb (C)

Lei de conservação de carga eléctrica

A carga eléctrica total em um sistema isolado, i.é., a soma algébrica de cargas negativas e positivas existente em certo instante, nunca varia.

$$-\frac{dQ}{dt} = I \quad (1)^{4/27}$$

Quantização da carga eléctrica

A carga de qualquer objecto/corpo carregado é um múltiplo inteiro de carga elementar (e).

$$Q = Ne \quad (2)$$

onde, $N = 1, 2, 3, \dots$

Quando a carga líquida de um corpo é nula ($Q = 0$), diz-se que o referido corpo é electricamente neutro.

$$Q = N_p e - N_e e = (N_p - N_e) e \quad (2a)$$

então, o corpo só é electroneutro se $N_p = N_e$,

Distribuição de carga eléctrica

Embora a carga seja quantizada e associada a partículas discretas, ela é frequentemente considerada como estando distribuída de uma forma contínua no espaço (principalmente quando existem muitas cargas)

Existem três tipos de densidades:

- ① Densidade linear:

$$\lambda = \frac{dq}{dl} \quad \text{ou} \quad \lambda = \frac{Q}{l} \quad [C/m] \quad (3a)$$

- ② Densidade superficial:

$$\sigma = \frac{dq}{dA} \quad \text{ou} \quad \sigma = \frac{Q}{A} \quad [C/m^2] \quad (3b)$$

- ③ Densidade Volumétrica:

$$\rho = \frac{dq}{dV} \quad \text{ou} \quad \rho = \frac{Q}{V} \quad [C/m^3] \quad (3c)$$

Carga e Força eléctrica

Tipos de electrização dos corpos

1 Atrito ou triboelectrização:

- Ocorre entre materiais diferentes e no final
- No fim todos os corpos tem a mesma quantidade de carga mas de sinais opostos.

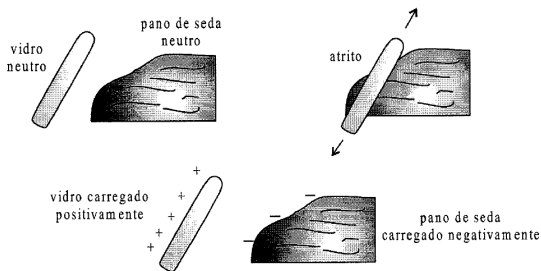


Figura 2: Electrização por atrito



Figura 3: Aterramento em camiões 7/27

2 Electrização por contacto:

- Material inicialmente carregado é posto em contacto com um neutro;
- No fim todos os corpos tem o mesmo tipo de carga (+ ∨ -), porém, a magnitude depende do tamanho e natureza dos corpos.
- Se inicialmente os corpos tinham cargas q_1 e q_2 , após o contacto cada um tem $Q_1 = Q_2 = \frac{q_1 + q_2}{2}$

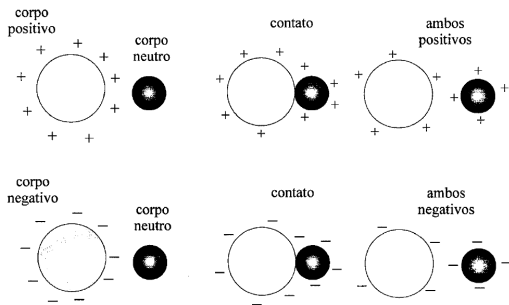


Figura 4: Electrização por contacto

3 Electrização por indução:

- Ocorre quando um corpo carregado é colocado próximo de um outro corpo electroneutro;
- Ocorre reorganização das cargas dando origem a duas zonas cada com um único tipo de cargas;
- Logo que se retira o indutor, o outro corpo retorna ao seu estado de electroneutro.

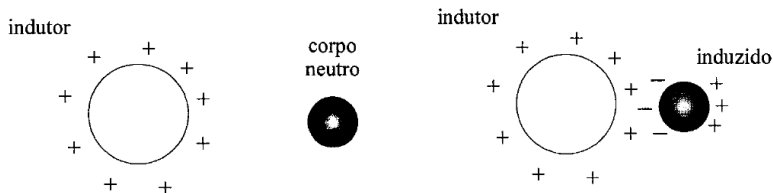


Figura 5: Electrização por indução

3 Electrização por indução:

- Ocorre quando um corpo carregado é colocado próximo de um outro corpo electroneutro;
- Ocorre reorganização das cargas dando origem a duas zonas cada com um único tipo de cargas;
- Logo que se retira o indutor, o outro corpo retorna ao seu estado de electroneutro.

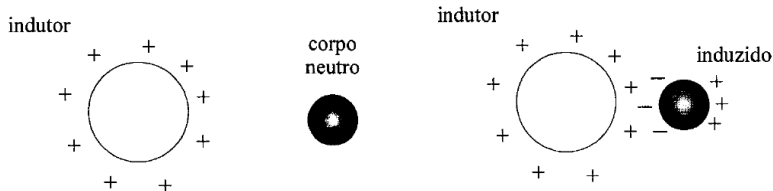


Figura 6: Electrização por indução

Condutores e Isoladores

① Condutores (Ex. Metais):

- São materiais que possuem electrões livres
- Não conservam excesso de carga por muito tempo, sendo que, muito rapidamente tendem a atingir o equilíbrio electrostático.
- A carga redistribui-se na superfície do condutor, pelo que, interior a carga líquida é nula ($\vec{E} = 0$)
- Não são favoráveis a electrização por fricção.

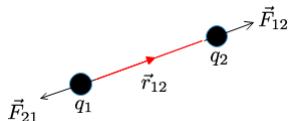
① Isoladores (dieléctricos) (Ex. boracha, madeira, etc.):

- Não possuem electrões livres.
- Tem uma banda de valência parcial ou completamente preenchida, pelo que, necessitam de energia muito elevada para serem arrancados e movidos até à banda de condução.
- Quando electrizados, levam muito tempo para atingir equilíbrio electrostático e a carga em excesso ou em falta é localizada

Existe outro tipo de materiais denominado de semi-condutor. (Ex. Si e Ge)

Carga e Força eléctrica

Lei de Coulomb



\vec{F}_{12} - força que q_1 exerce sobre q_2

$$\vec{F}_{12} = \frac{1}{4\pi\epsilon_0\epsilon_r} \frac{q_1 q_2}{r_{12}^2} \hat{r}_{12} \quad (4)$$

$\epsilon_0 = 8.85 \times 10^{-12} C^2 N^{-1} m^{-2}$ - permissividade eléctrica do vácuo

ϵ_r - permissividade relativa do meio

A força electrostática é a força entre duas partículas carregadas.

No caso de existirem muitas cargas ($q_1, q_2, q_3, \dots, q_N$), a força resultante que a j -ésima carga sente pela presença de outras, determina-se usando o **princípio de superposição**:

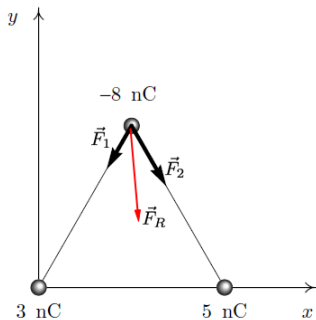
$$\vec{F}_j = \sum_{i \neq j} \vec{F}_{ij} = \frac{1}{4\pi\epsilon_0} \sum_{i \neq j} \frac{q_i q_j}{r_{ij}^2} \hat{r}_{ij} \quad (5)$$

Carga e Força eléctrica

Lei de Coulomb

Exemplo 1

Três partículas com cargas de 3nC , 5nC e -8nC encontram-se nos vértices de um triângulo equilátero de 4mm de lado. Determine a força que actua sobre a partícula de carga negativa.



$$\vec{F}_R = \vec{F}_1 + \vec{F}_2$$

$$F_1 = 13.5\text{mN} \text{ e } F_2 = 22.5\text{mN}$$

$$\begin{aligned} F_x &= [-13.5\cos(60^\circ) + 22.5\cos(60^\circ)] \times 10^{-3} \\ &= 4.5 \times 10^{-3}\text{N} \end{aligned}$$

$$\begin{aligned} F_y &= [-13.5\sin(60^\circ) - 22.5\sin(60^\circ)] \times 10^{-3} \\ &= -18\sqrt{3} \times 10^{-3}\text{N} \end{aligned}$$

$$\vec{F}_R = (4.5\vec{i} - 18\sqrt{3}\vec{j}) \times 10^{-3}\text{N}$$

Campo eléctrico

- Definição:

$$\vec{E} = \lim_{q \rightarrow 0} \frac{\vec{F}}{q} \quad (6a)$$

- Campo devido a carga pontual:

$$\vec{E} = \frac{1}{4\pi\epsilon_0\epsilon_r} \frac{Q}{r^2} \hat{e}_r \quad [N/C] \quad (6b)$$

- A carga q ao ser colocada a uma distância \vec{r} sofre acção da força \vec{F}_{Qq} ;
- \rightsquigarrow A carga de prova é usada para testar a existência de campo eléctrico (\vec{E}) daí que deve ser menor ($q \rightarrow 0$)²

Campo eléctrico é um formalismo usado para descrever a interação entre partículas carregadas distantes uma das outras (força de acção a distância).

²O limite é apenas formal, pois a carga é quantizada e não pode assumir valores menores, em módulo, que a carga elementar

Campo eléctrico

O campo eléctrico criado por uma carga pontual tem uma simetria esférica radial.

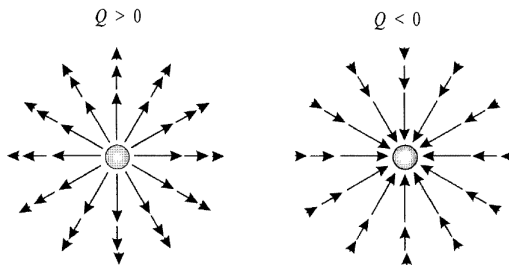
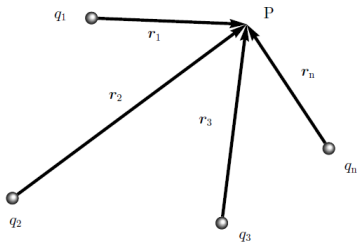


Figura 7:

Campo eléctrico

Princípio de superposição

Em caso de muitas cargas discretas usa-se o **princípio de superposição**:



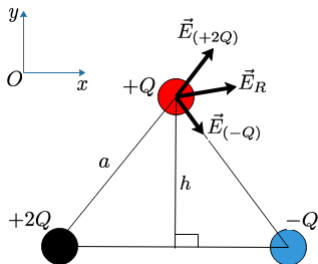
$$\vec{E} = \sum_{i=1}^N \vec{E}_i = \frac{1}{4\pi\epsilon_0} \sum_{i=1}^N \frac{q_i}{r_i^2} \hat{r}_i \quad (7)$$

Exemplo 2

Determine o campo eléctrico resultante sobre a carga de $+Q$, sabendo que as três cargas estão nos vértices de um triângulo equilátero de lado a .

Campo elétrico

Princípio de superposição



$$\vec{E}_R = \vec{E}_{(-Q)} + \vec{E}_{(+2Q)}$$

$$\vec{E}_{(+2Q)} = k \frac{2Q}{a^2} [\cos(60^\circ)\vec{i} + \sin(60^\circ)\vec{j}]$$

$$\vec{E}_{(-Q)} = k \frac{Q}{a^2} [\cos(60^\circ)\vec{i} - \sin(60^\circ)\vec{j}]$$

$$\vec{E}_R = \frac{kQ}{2a^2} (3\vec{i} + \sqrt{3}\vec{j}) \text{ N/C}$$

Quando a distribuição das cargas é contínua, o campo é determinado tendo-se em consideração o tipo de distribuição da referida carga (λ, σ, ρ).

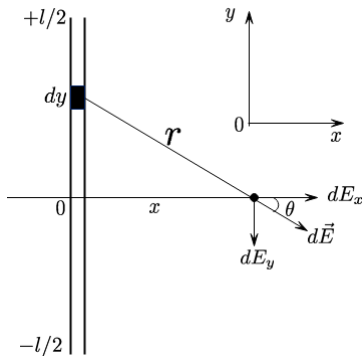
$$\vec{E} = \frac{1}{4\pi\epsilon_0} \int \frac{dq}{r^2} \hat{n} \quad (8)$$

Campo eléctrico

Distribuição contínua de cargas

Exemplo 3

Determine o campo eléctrico gerado por um fio condutor infinito com uma densidade uniforme de carga λ .



$$dE_x = dE \cos \theta \Rightarrow dE_x = \frac{k\lambda dy}{r^2} \cos \theta$$

$$\cos \theta = \frac{x}{\sqrt{y^2 + x^2}}; \quad dE_x = \frac{k\lambda x dy}{(y^2 + x^2)^{3/2}}$$

$$E_x = k\lambda x \int_{-l/2}^{+l/2} \frac{dy}{(y^2 + x^2)^{3/2}}$$

$$E_x = \frac{2k\lambda}{x \sqrt{l^2 + \frac{1}{4}x^2}}$$

Devido a simetria, $E_y = 0!$

$$l \rightarrow \infty \rightsquigarrow \boxed{E_x = \frac{2k\lambda}{x}}$$

Campo eléctrico

Dipolo eléctrico

Dipolo é um sistema de duas cargas de mesma magnitude mas de sinais opostos separados por uma distância relativamente menor.

Na natureza existe dois tipos de dipolos:

- **Dipolo permanente**
 - Aparece nas moléculas polares (ex. água) nas quais não há coincidência entre os centros geométricos das cargas positivas e das cargas negativas.
- **Dipolo induzido**
 - Surge durante o processo de polarização induzida

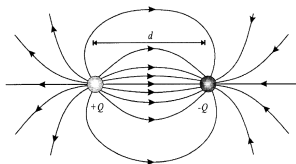
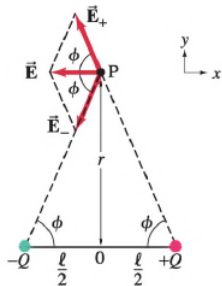


Figura 8: Linhas de campo de um dipolo

Campo eléctrico

Dipolo eléctrico



$$\begin{aligned}\vec{E}_R &= \vec{E}_{(+Q)} + \vec{E}_{(-Q)} \wedge |Q_+| = |Q_-| \\ \vec{E}_R &= -2k \frac{Q}{(r^2 + \ell^2/4)} \cos(\phi) \vec{i} \\ \vec{E}_R &= -2k \frac{Q}{(r^2 + \ell^2/4)} \cdot \frac{\ell}{2\sqrt{r^2 + \ell^2/4}} \vec{i} \quad (9) \\ \vec{E}_R &= -k \frac{Q\ell}{(r^2 + \ell^2/4)^{3/2}} \vec{i}\end{aligned}$$

A magnitude $Q\ell = p$ denomina-se momento dipolar. Para grandes distâncias, $r \gg \ell$, o campo criado pelo dipolo eléctrico no plano perpendicular é:

$$\vec{E}_{\text{dipolo}} \equiv \vec{E}_R = -k \frac{\vec{p}}{r^3} \quad (9a)$$

Campo eléctrico

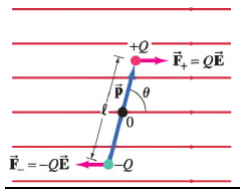
Dipolo eléctrico

Ao longo do eixo do dipolo tem-se:

$$\vec{E}_{\text{dipolo}} = 2k \frac{\vec{p}}{r^3} \quad (10)$$

Dipolo no seio de um campo eléctrico externo

Quando o dipolo eléctrico é colocado no seio de um campo não uniforme, as forças que actuam nas cargas não são as mesmas. Assim, o dipolo será sujeito a um torque.



$$\tau = QE \frac{\ell}{2} \sin \theta + QE \frac{\ell}{2} \sin \theta = pE \sin \theta \quad (11a)$$

$$\vec{\tau} = \vec{p} \times \vec{E} \quad (11b)$$

Figura 9: Dipolo no seio de campo \vec{E}

Você já imaginou como é que aquecemos alimentos usando microondas?

Campo eléctrico

Movimento de partículas carregadas no seio de \vec{E} uniforme

1 Aceleração das partículas

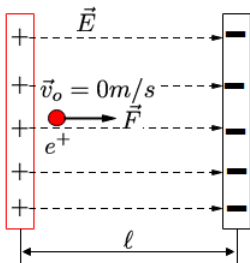


Figura 10:

Aceleração:

$$a = \frac{F}{m} = \frac{qE}{m} \quad (12a)$$

$$\ell = \frac{1}{2}at^2$$

$$v_f = at \quad (12b)$$

$$v_f^2 = 2a\ell = 2\frac{qE}{m}\ell$$

Aqui conseguimos determinar a velocidade final da partícula após ter sido acelerado pelo campo eléctrico uniforme. A força de gravidade é tão menor que o seu impacto é praticamente desprezível.

Campo elétrico

Movimento de partículas carregadas no seio de \vec{E} uniforme

- 2 A carga entra no seio de campo com $\vec{v}_o \neq 0$

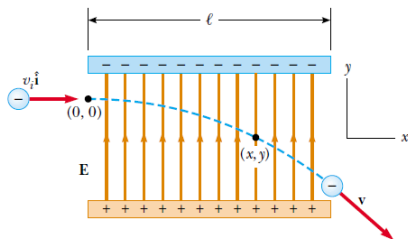


Figura 11:

$$v_x = v_o x = \text{const.}$$

$$x_f = v_{ox} t$$

$$v_{oy} = 0$$

$$v_y = a_y t = -\frac{qE}{m} t$$

$$y_f = \frac{1}{2} a_y t^2 = -\frac{1}{2} \frac{qE}{m} t^2$$

(13a)

Você já pensou na aplicação disto?

Campo eléctrico

Movimento de partículas carregadas no seio de \vec{E} uniforme

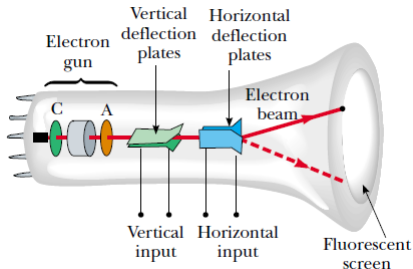


Figura 12: Tubos de raios catódicos

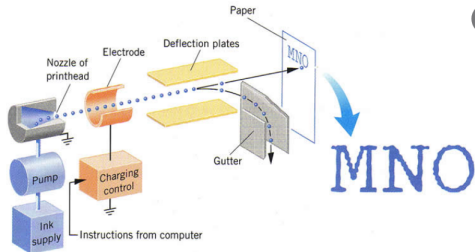


Figura 13: Impressora/Fotocopiadora

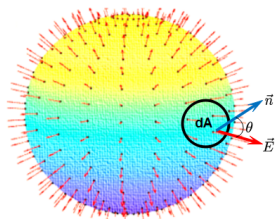
Voltaremos a tratar este assunto, adicionando o efeito do campo magnético!

Campo eléctrico - Lei de Gauss

A determinação do campo eléctrico usando a lei de Coulomb é em alguns casos difícil e/ou trabalhoso (conforme se vê no [Exemplo 3](#))

Quando a distribuição das cargas apresenta uma simetria, é mais fácil determinar-se o campo eléctrico usando-se a [lei de Gauss](#).

A lei de Gauss estabelece uma relação entre o fluxo de campo eléctrico (ϕ_E) através de uma superfície fechada e as cargas que estão no interior dessa superfície.



$$\phi_E = \oint_S \vec{E} d\vec{S} = \frac{1}{\epsilon_0} Q \quad (14a)$$

Recorrendo-se ao teorema de Gauss

$$\oint_S \vec{a} d\vec{S} = \int_V \text{div} \vec{a} dV$$

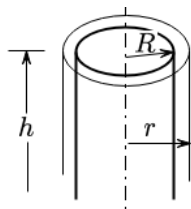
para o campo eléctrico fica:

$$\text{div} \vec{E} = \frac{1}{\epsilon_0} \rho \quad (14b)$$

Figura 14: Fluxo do campo eléctrico em uma superfície esférica fechada

Exemplo 4

Recorrendo-se a lei de Gauss, determine o campo eléctrico gerado por um fio condutor infinito com uma densidade uniforme de carga λ .



$$\oint_S \vec{E} d\vec{S} = \frac{1}{\epsilon_0} Q$$

Condutor: $E|_{r < R} = 0$

$r > R$

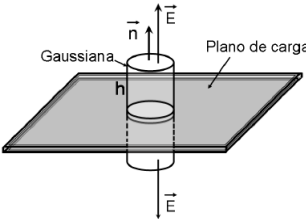
$$\int_0^r E 2\pi h dr = \frac{1}{\epsilon_0} \int_0^h \lambda dl$$

$$E(r) = \frac{\lambda}{\epsilon_0 2\pi} \frac{1}{r} \Rightarrow \boxed{E(r) = \frac{2k\lambda}{r}}$$

Campo eléctrico - Lei de Gauss

Exemplo 5

Determine o campo eléctrico a uma altura h de um plano com densidade superficial de carga σ



The diagram shows a horizontal grey plane labeled 'Plano de carga'. A cylindrical Gaussian surface, labeled 'Gaussiana', is drawn perpendicular to the plane. The cylinder has a height h and its top and bottom circular faces are parallel to the plane. An upward-pointing vector \vec{n} is shown at the top face. Electric field vectors \vec{E} are shown pointing away from the plane, both above and below it.

$$\oint_S \vec{E} d\vec{S} = \frac{1}{\epsilon_0} Q$$
$$\oint_S \vec{E} d\vec{S} = \int_{S_{sup}} E dS + \int_{S_{inf}} E dS + \int_{S_{lat}} E dS$$
$$\oint_S \vec{E} d\vec{S} = 2ES + 0 = \frac{1}{\epsilon_0} \sigma S$$
$$E = \frac{\sigma}{2\epsilon_0}$$

O campo é constante e independente da distância até ao plano da carga!

Este resultado voltaremos a usar para os capacitores de placas paralelas. 27/27